

SENYAWA FENOLAT DAN GLIKOSIDA DARI KULIT BATANG MIMBA (*Azadirachta indica*) ASAL PULAU POTERAN

Wahyu Nugroho 1412201006

Dosen Pembimbing:

Prof. Mardi Santoso, Ph.D

Prof. Dr. Taslim Ersam

Dosen Penguji:

Adi Setyo Purnomo, M.Sc., Ph.D

Prof. Dr. R.Y. Perry Burhan, M.Sc

Hamzah Fansuri, Ph.D



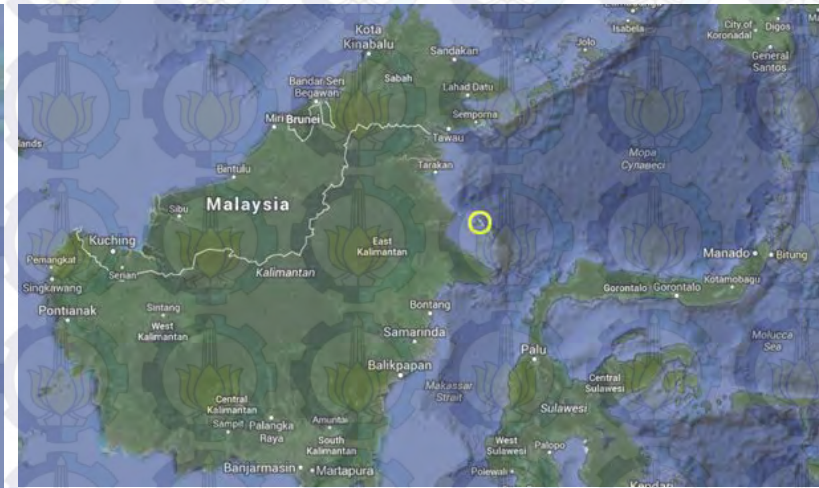
Sustainable Island Development Initiatives (SIDI)



Pulau Poteran (Ekstrak Herbal)



Pulau Maratua (Pariwisata)



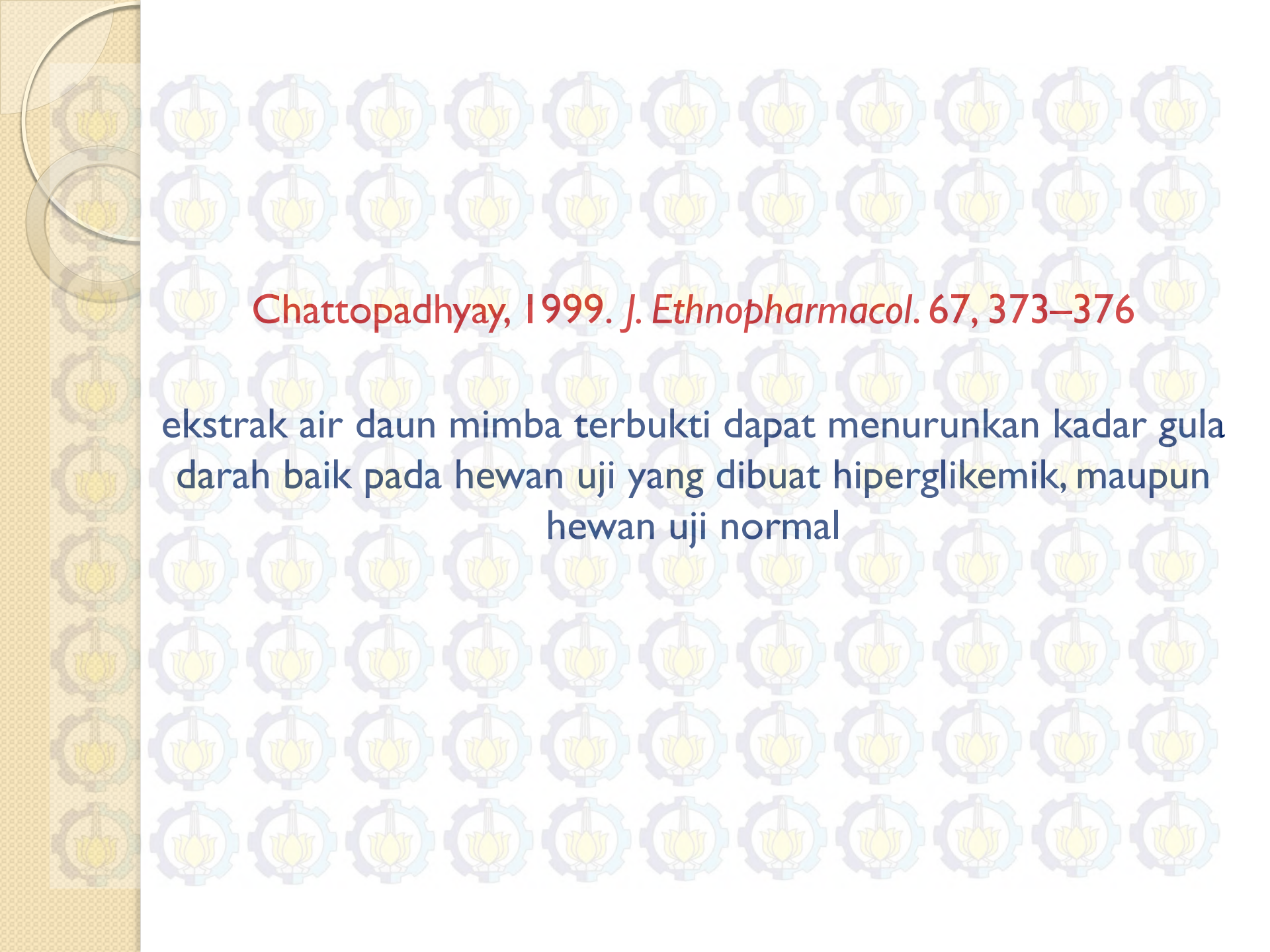




Azadirachta indica
© Travis Idol

Mimba

Obat penurun kadar glukosa darah
Makanan ternak, terutama kambing



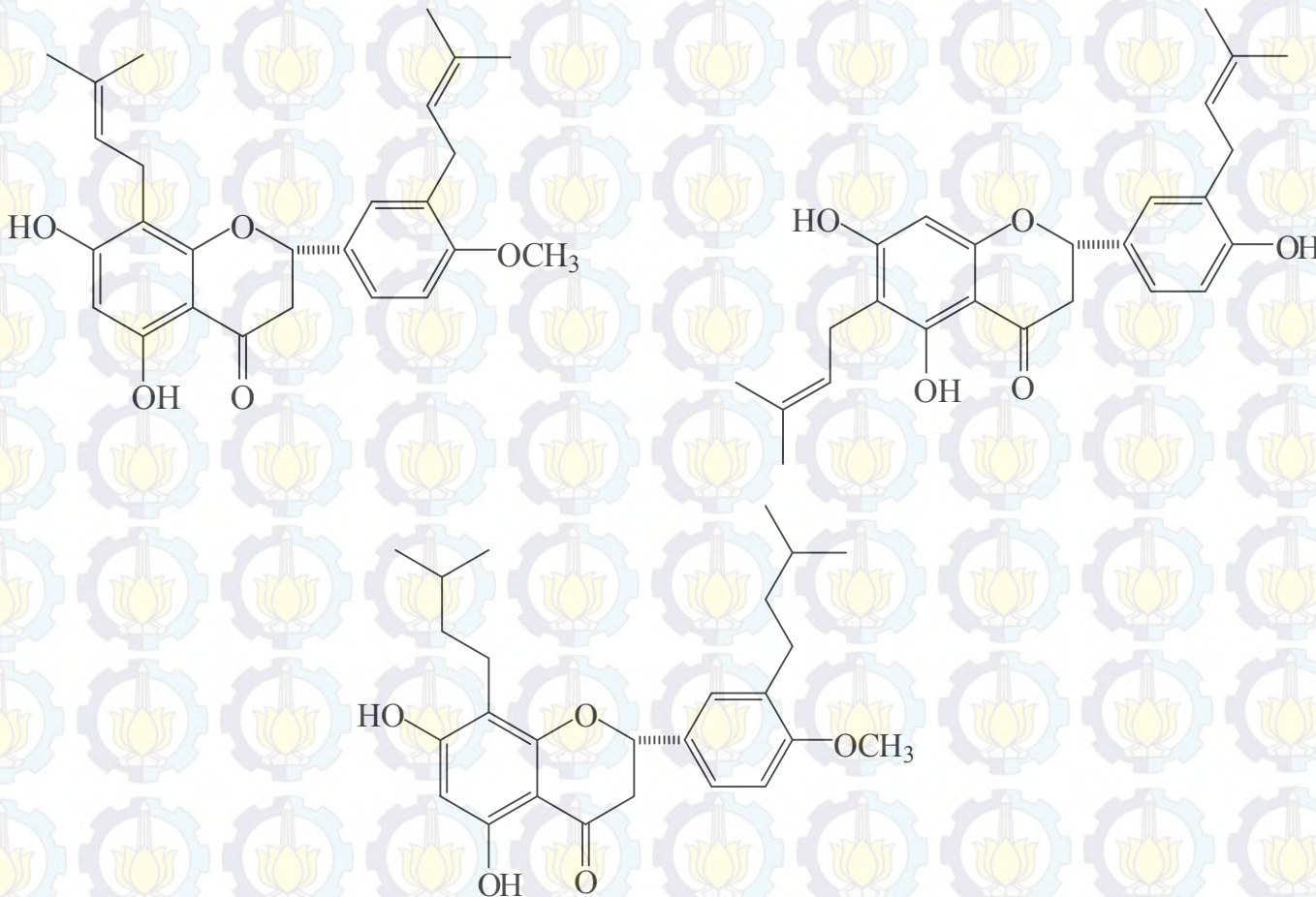
Chattopadhyay, 1999. *J. Ethnopharmacol.* 67, 373–376

ekstrak air daun mimba terbukti dapat menurunkan kadar gula darah baik pada hewan uji yang dibuat hiperglikemik, maupun hewan uji normal

Senyawa Fenolat dari tumbuhan Mimba

Bagian Daun dari Mimba asal India

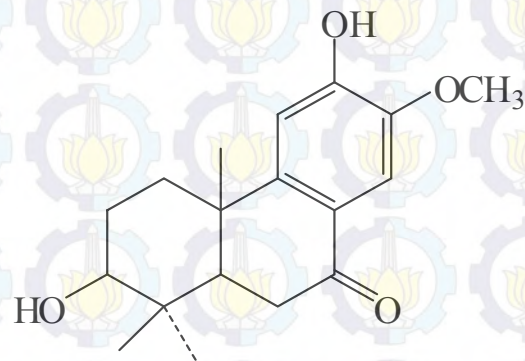
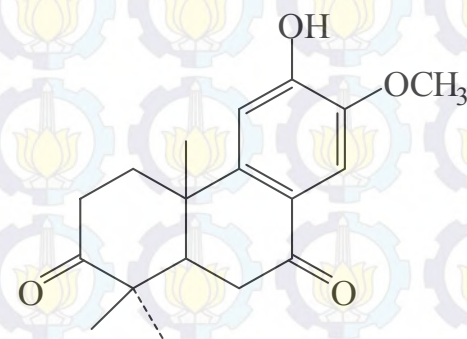
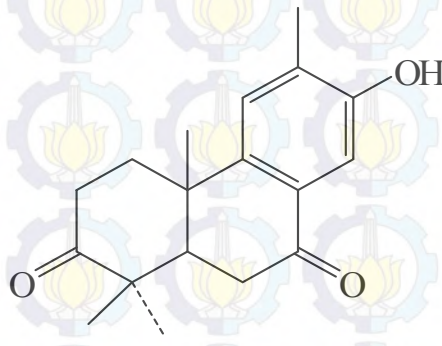
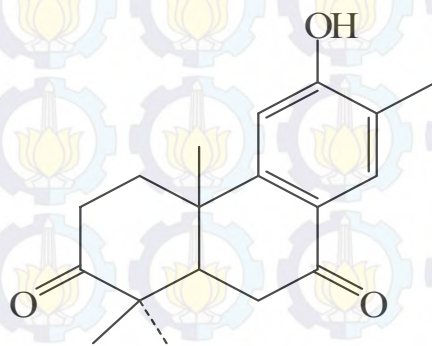
Garg dan Bhakuni, 1984. *Phytochemistry*, 21:15–21:18



Kulit Batang Mimba asal Pakistan

Ara et al., 1988. *Phytochemistry* 27, 1801–1804

Siddiqui et al., 1988. *Phytochemistry* 27, 3903–3907



Perumusan Masalah

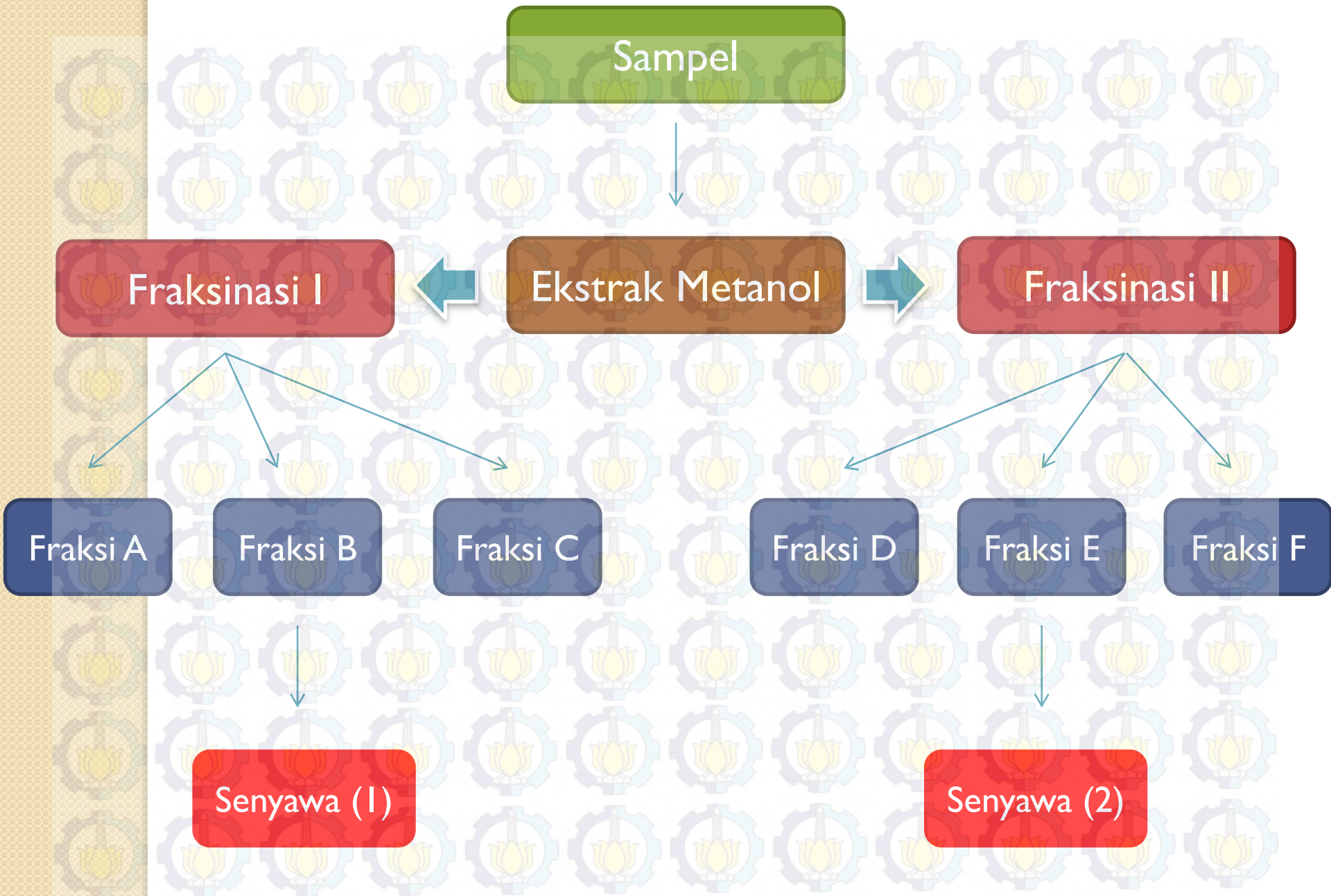
Memperhatikan senyawa anggota kelompok senyawa fenolat diterpenoid dari *A.indica* asal Pakistan dan berdasarkan pendekatan kemotaksonomi bahwa perbedaan letak geografis dapat mempengaruhi variasi struktur, maka:

- bahwa masih berpeluang ditemukan senyawa anggota kelompok fenolat diterpenoid dari kulit batang *A.indica* asal Pulau Poteran dengan struktur berbeda dengan yang sudah dilaporkan
- bagaimana tingkat keaktifan senyawa-senyawa tersebut dalam menurunkan kadar gula darah melalui pengujian aktivitas inhibisi terhadap enzim α -glukosidase?



Tujuan Penelitian

Penelitian bertujuan untuk memperoleh senyawa fenolat diterpenoid dari kulit batang *A. Indica* asal Pulau Poteran dan mengkaji aktivitas inhibisi senyawa-senyawa hasil isolasi terhadap enzim α -glukosidase



Sampel

Fraksinasi I

Ekstrak Metanol

Fraksinasi II

Fraksi A

Fraksi B

Fraksi C

Fraksi D

Fraksi E

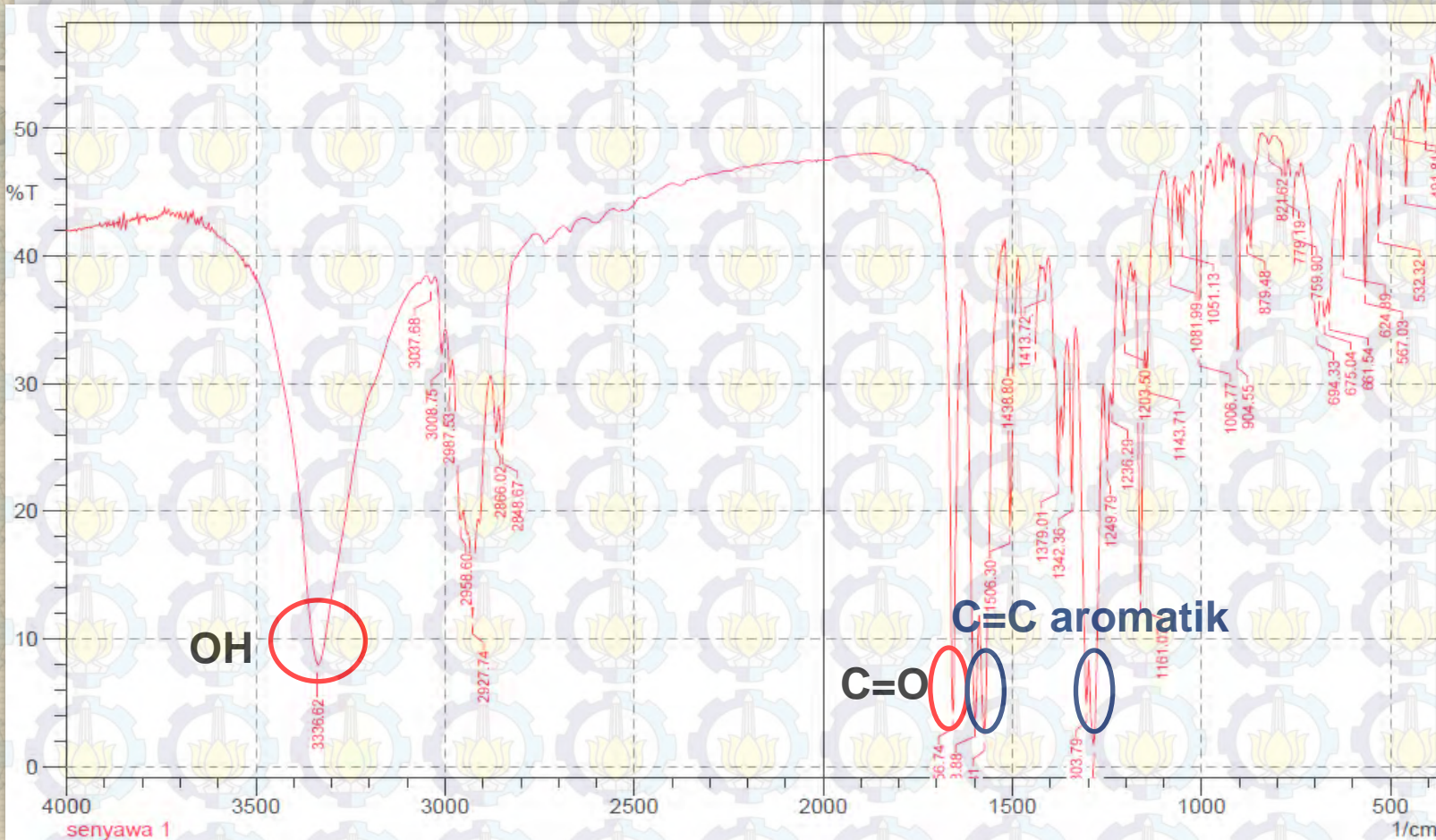
Fraksi F

Senyawa (1)

Senyawa (2)

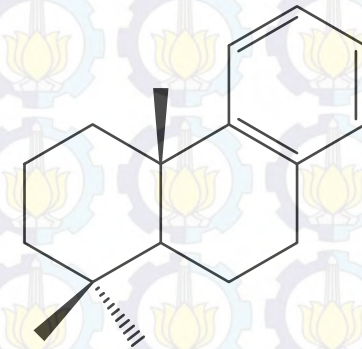
Identifikasi Senyawa (I)

Spektrum IR

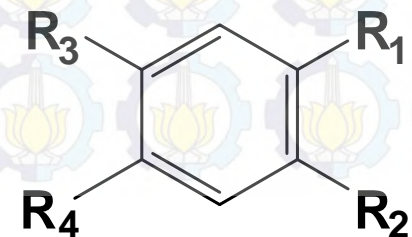


Spektrum ¹H-NMR

No	δ _H (ppm)
1	0,97 (3H, s)
2	1,20 (3H, s)
3	0,91 (3H, s)
4	1,26 (1H, dd, $J_{gem} = 13,2$ Hz)
5	1,49 (1H, d)
6	1,52 (1H, s)
7	1,66 (1H, m)
8	1,74 (1H, tt)
9	1,82 (1H, dd, $J_{gem} = 13,2$ Hz)
10	2,18 (1H, s);
11	2,22 (3H, s)
12	2,53-2,70 (2H, m)
13	5,53 (1H, d, $J = 7,6$ Hz)
14	6,72 (1H, s)
15	7,81 (1H, s)



(Ara et al., 1989)



Spektrum ^{13}C -NMR

No	δ_{C} (ppm)	No	δ_{C} (ppm)
1	15,2	10	41,4
2	19,0	11	49,6
3	21,5	12	109,6
4	23,4	13	122,0
5	32,7	14	124,5
6	33,4	15	130,8
7	36,1	16	157,1
8	37,8	17	159,0
9	38,0	18	198,7

198,7



Gugus Karbonil

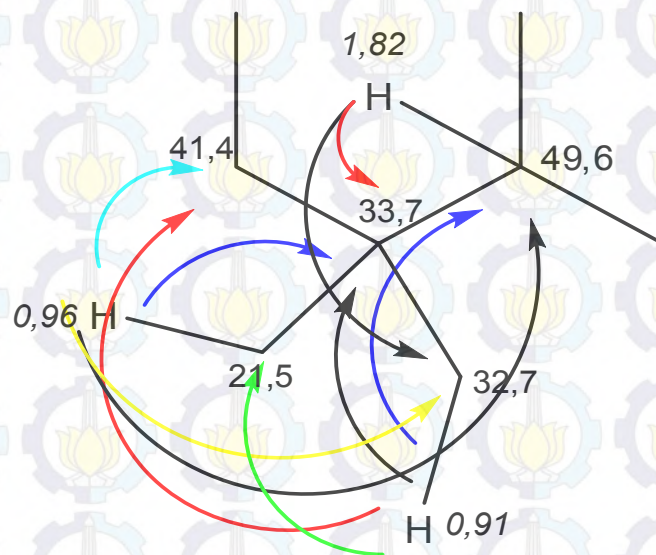
δ_C (ppm)	DEPT	δ_H (ppm)
15,2	CH ₃	2,22 (3H, s)
19,0	CH ₂	1,74 (1H, tt); 1,66 (1H, m)
21,5	CH ₃	0,97 (3H, s)
23,4	CH ₃	1,20 (3H, s)
32,7	CH ₃	0,91 (3H, s)
33,4	C _{kuart}	-
36,1	CH ₂	2,53-2,70 (2H, m)
37,8	C _{kuart}	-
38,0	CH ₂	2,18 (1H, s); 1,49 (1H, d)
41,4	CH ₂	1,52 (1H, s); 1,26 (1H, dd, $J_{gem} = 13,2$ Hz)
49,6	CH	1,82 (1H, dd, $J_{gem} = 13,2$ Hz)
109,6	CH	6,72 (1H, s)
122,0	C _{kuart}	-
124,5	C _{kuart}	-
130,8	CH	7,81 (1H, s)
157,1	C _{kuart}	-
159,0	C _{kuart}	-
198,7	C=O	-

Data HMBC

δ_H (ppm)	δ_C (ppm)
0,91	41,4; 33,7; 49,6; 21,5
0,96	41,4; 33,7; 49,6; 32,7
1,20	49,6; 157,1; 37,8; 38,0
1,26	-
1,49	37,8
1,52	38,0
1,66	38,0
1,74	-
1,82	33,7; 36,1; 37,8 ; 21,5
2,18	41,4; 49,6
2,22	122,0; 159,0; 130,8
2,53-2,70	49,60; 198,7; 37,8; 38,0
5,53	-
6,72	122,0; 37,8; 159,0; 124,5
7,81	198,7; 157,1; 159,0; 15,2

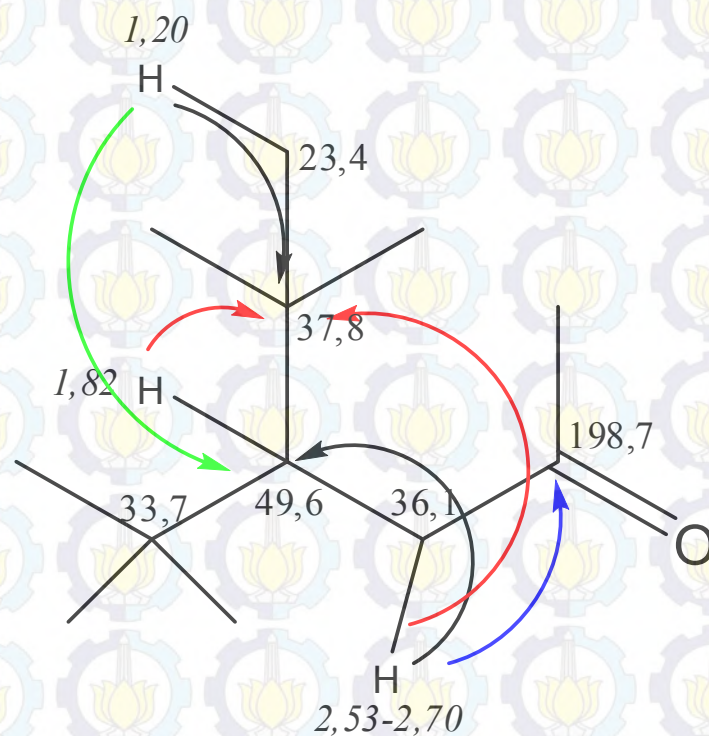
Data HMBC

δ_H (ppm)	δ_C (ppm)
0,91	41,4; 33,7; 49,6; 21,5
0,96	41,4; 33,7; 49,6; 32,7
1,20	49,6; 157,1; 37,8; 38,0
1,26	-
1,49	37,8
1,52	38,0
1,66	38,0
1,74	-
1,82	33,7; 36,1; 37,8 ; 21,5
2,18	41,4; 49,6
2,22	122,0; 159,0; 130,8
2,53-2,70	49,60; 198,7; 37,8; 38,0
5,53	-
6,72	122,0; 37,8; 159,0; 124,5
7,81	198,7; 157,1; 159,0; 15,2



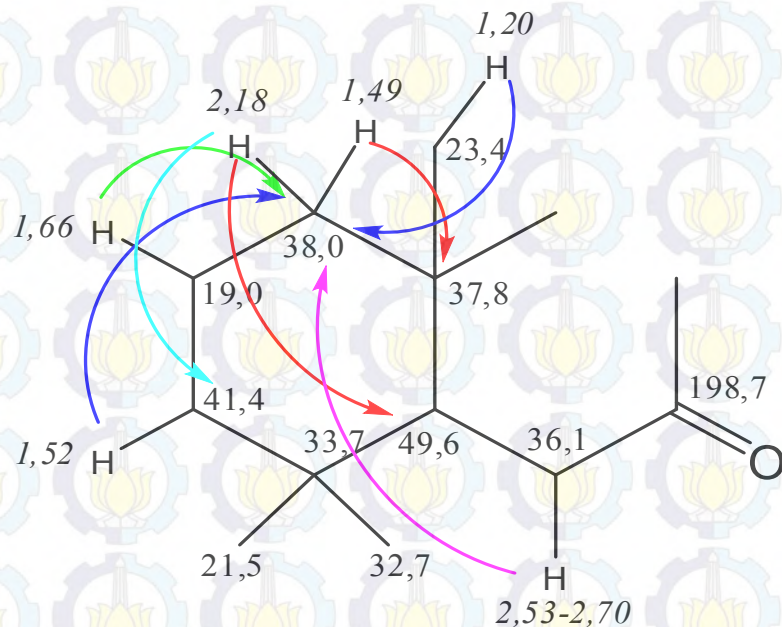
Data HMBC

δ_H (ppm)	δ_C (ppm)
0,91	41,4; 33,7; 49,6; 21,5
0,96	41,4; 33,7; 49,6; 32,7
1,20	49,6; 157,1; 37,8; 38,0
1,26	-
1,49	37,8
1,52	38,0
1,66	38,0
1,74	-
1,82	33,7; 36,1; 37,8 ; 21,5
2,18	41,4; 49,6
2,22	122,0; 159,0; 130,8
2,53-2,70	49,60; 198,7; 37,8; 38,0
5,53	-
6,72	122,0; 37,8; 159,0; 124,5
7,81	198,7; 157,1; 159,0; 15,2



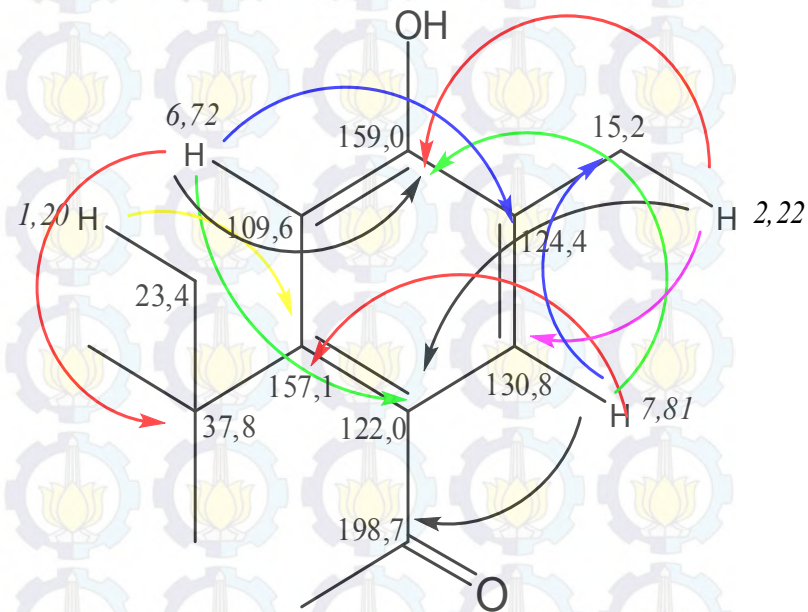
Data HMBC

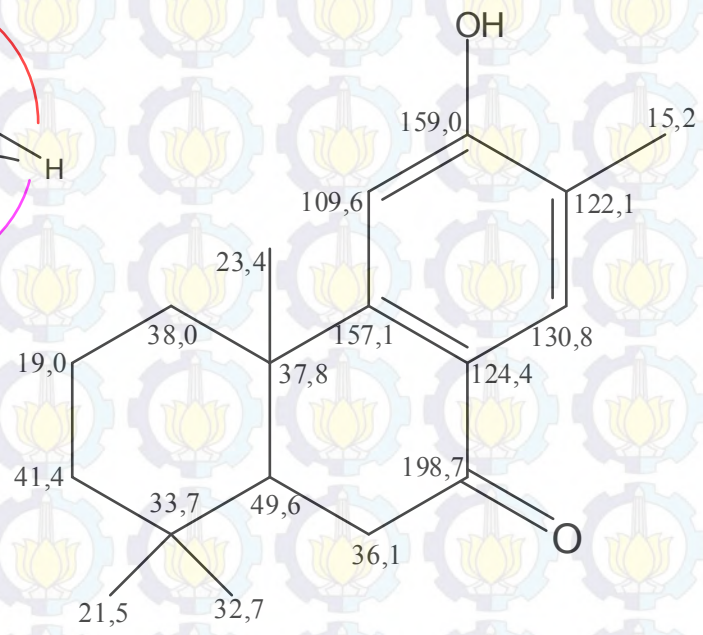
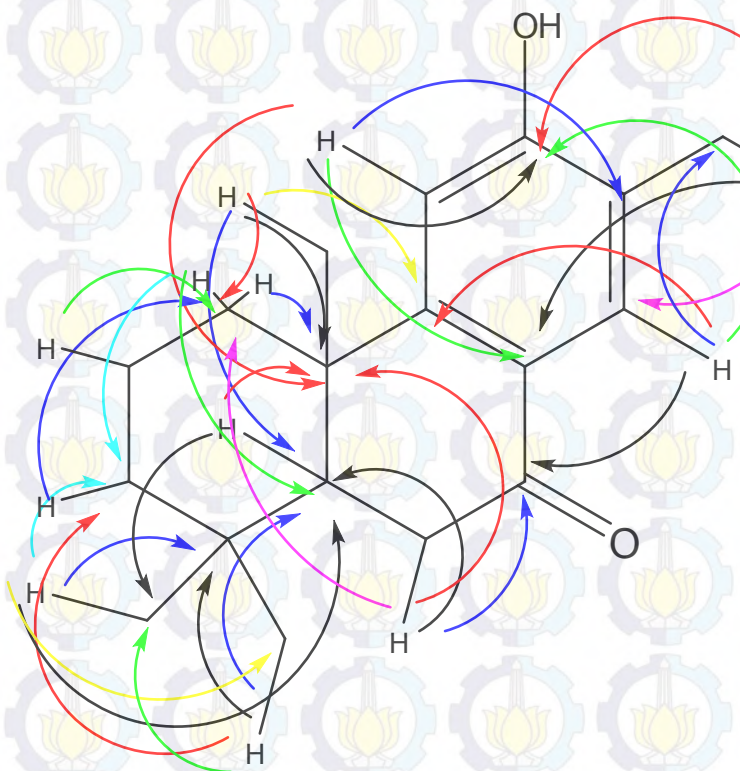
δ_H (ppm)	δ_C (ppm)
0,91	41,4; 33,7; 49,6; 21,5
0,96	41,4; 33,7; 49,6; 32,7
1,20	49,6; 157,1; 37,8; 38,0
1,26	-
1,49	37,8
1,52	38,0
1,66	38,0
1,74	-
1,82	33,7; 36,1; 37,8 ; 21,5
2,18	41,4; 49,6
2,22	122,0; 159,0; 130,8
2,53-2,70	49,60; 198,7; 37,8; 38,0
5,53	-
6,72	122,0; 37,8; 159,0; 124,5
7,81	198,7; 157,1; 159,0; 15,2



Data HMBC

δ_H (ppm)	δ_C (ppm)
0,91	41,4; 33,7; 49,6; 21,5
0,96	41,4; 33,7; 49,6; 32,7
1,20	49,6; 157,1 ; 37,8; 38,0
1,26	-
1,49	37,8
1,52	38,0
1,66	38,0
1,74	-
1,82	33,7; 36,1; 37,8 ; 21,5
2,18	41,4; 49,6
2,22	122,0; 159,0; 130,8
2,53-2,70	49,60; 198,7; 37,8; 38,0
5,53	-
6,72	122,0; 37,8; 159,0; 124,5
7,81	198,7; 157,1; 159,0; 15,2

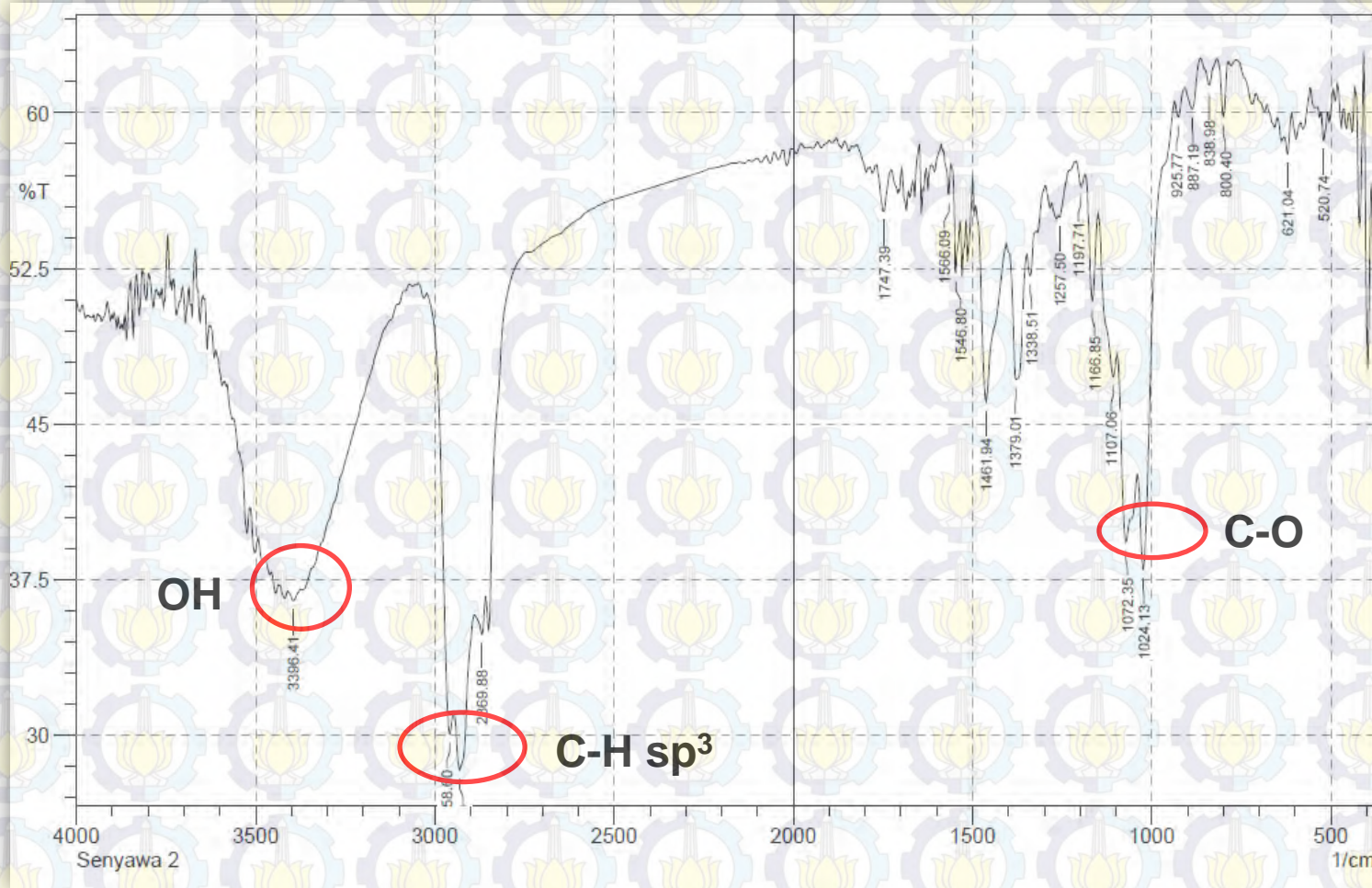




Nimbiol (C₁₈H₂₄O₂)

Identifikasi Senyawa (2)

Spektrum IR



Spektrum ^{13}C -NMR

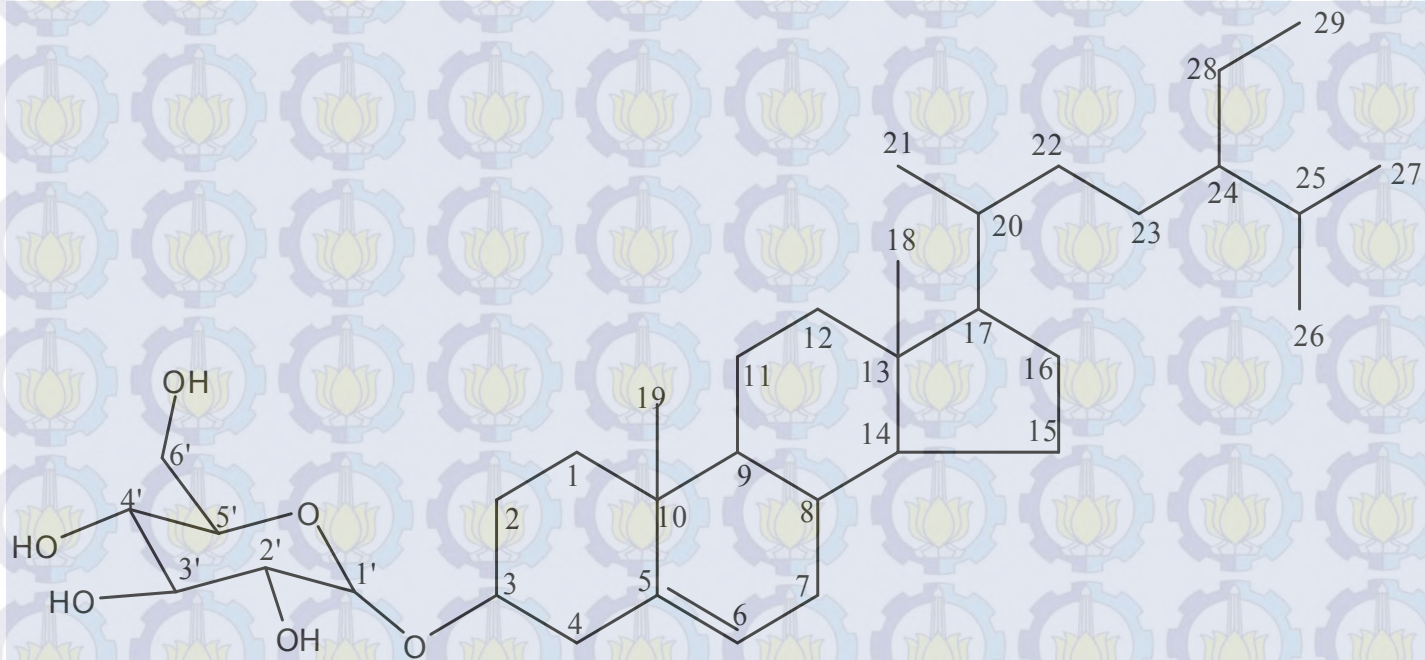
Posisi Karbon	δ_{H} (ppm)	
	Senyawa (2)	β - sitosterol-3-O-glikosida*
3	77,9	77,0
6	122,6	122,3
18	11,9	11,9
19	19,1	19,1
21	18,8	18,8
26	19,3	19,4
27	19,8	19,9
29	11,9	12,0
1'	101,13	104,3
2'	75,66	75,6
3'	76,33	76,6
4'	73,60	73,5
5'	79,30	79,2
6'	62,03	61,1

Keterangan:* Pei-Wu et al., (1988)

Spektrum ¹H-NMR

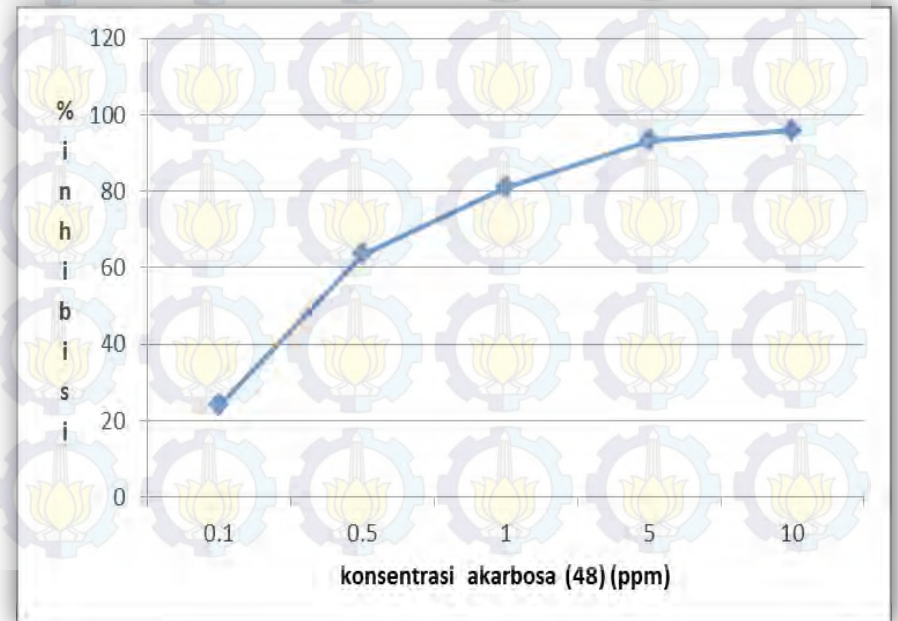
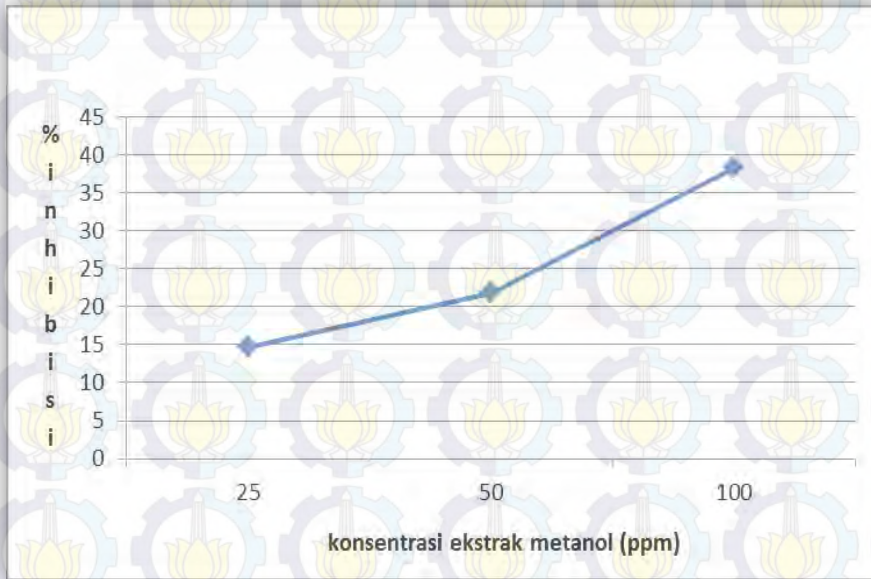
Posisi Karbon	δ _H (ppm)	
	Senyawa (2)	β- sitosterol-3- <i>O</i> -glikosida*
3	3,41-3,43 (1H, m)	3,43 (1H, m)
6	5,32 (1H, <i>br s</i>)	5,40 (1H, <i>br d</i>)
18	0,63 (3H, d)	0,69 (3H, s)
19	0,96 (3H, d)	1,05 (3H, s)
21	0,96 (3H, d)	0,95 (3H, d)
26	0,76 (3H, m)	0,82 (3H, d)
27	0,79 (3H, m)	0,84 (3H, d)
29	0,87 (3H, m)	0,85 (3H, d)
1'	4,35 (1H, d)	4,40 (1H, d)
2'	3,50-3,52 (1H, m)	3,55-3,62 (1H, m)
3'	3,52-3,55 (1H, m)	3,45-3,62 (1H, m)
4'	3,38-3,41 (1H, m)	3,36-3,40 (1H, m)
5'	3,79-3,81 (1H, m)	3,75-3,88 (1H, m)
6'	3,24-3,27 (1H, m)	3,28 (1H, m)

Keterangan:* Ruangnoo (2007)

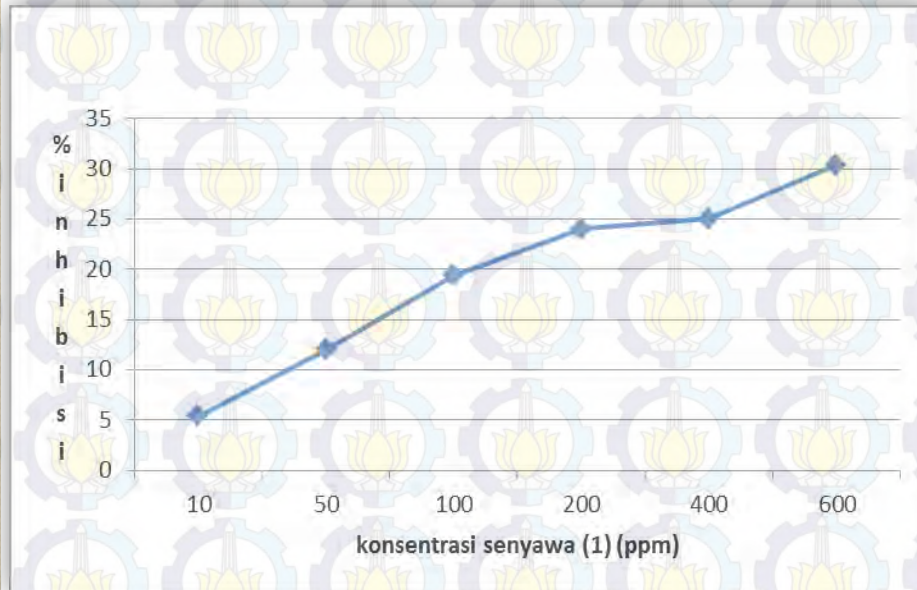


β - sitosterol-3-O-glikosida

Uji Inhibisi Enzim α -glukosidase



Uji Inhibisi Enzim α -glukosidase

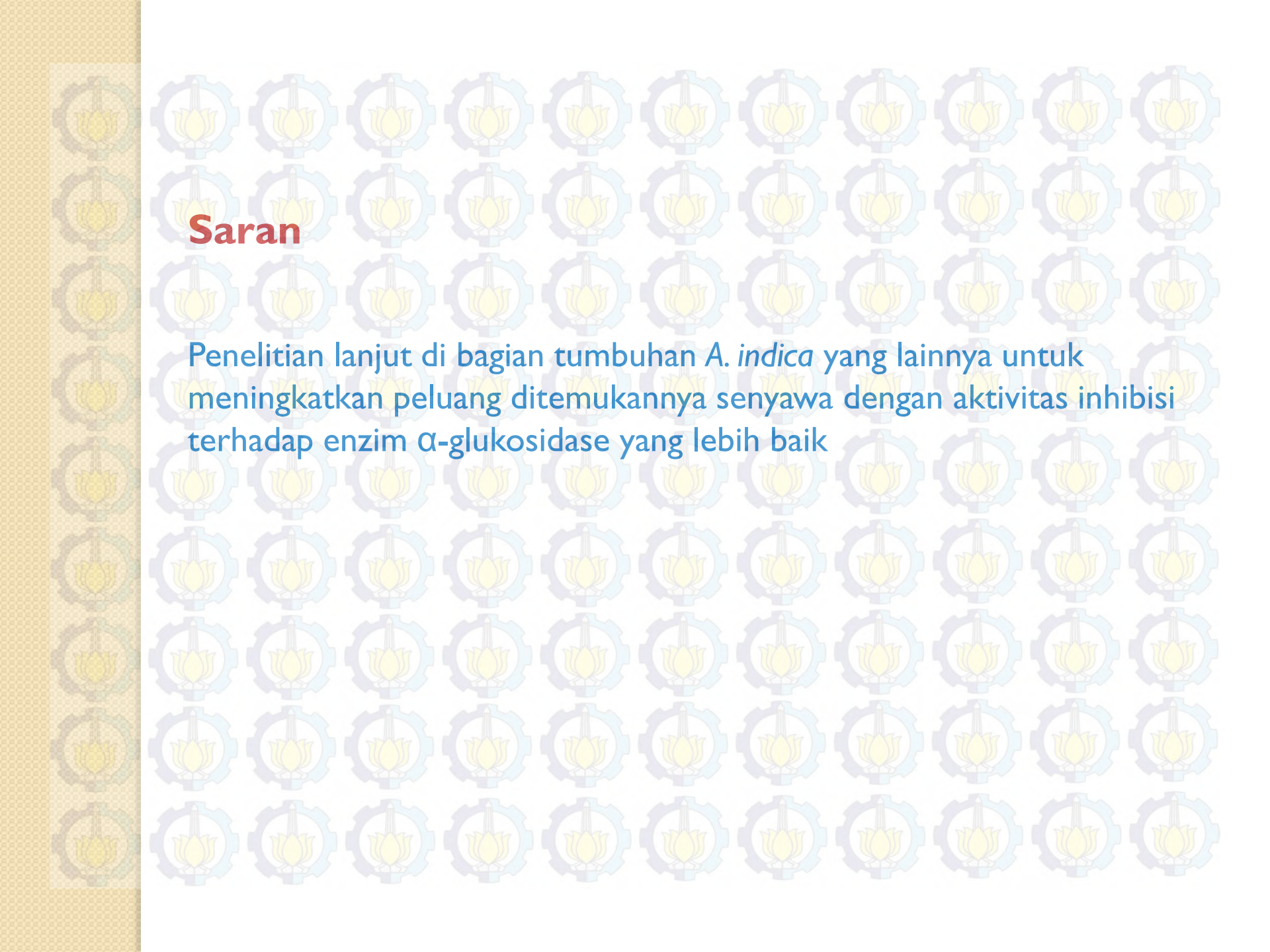


Kesimpulan

Diperoleh senyawa fenolat diterpenoid berupa nimbiol (1) dan turunan terpenoid senyawa glikosida β -sitosterol-3-O-glikosida (2)

kedua senyawa ini telah dilaporkan oleh Ara I (1989)

Hasil pengujian menunjukkan bahwa ekstrak metanol dan senyawa (1) memiliki aktivitas inhibisi terhadap enzim α -glukosidase yang lemah, sedangkan senyawa (2) bersifat tidak aktif



Saran

Penelitian lanjut di bagian tumbuhan *A. indica* yang lainnya untuk meningkatkan peluang ditemukannya senyawa dengan aktivitas inhibisi terhadap enzim α -glukosidase yang lebih baik



TERIMA KASIH